



# SPRAWOZDANIE NR OS/0901/24

## Z POMIARÓW NATĘŻENIA PÓL ELEKTROMAGNETYCZNYCH

### WYKONANYCH DLA CELÓW OCHRONY ŚRODOWISKA

Miejsce wykonania badania:	<b>BIA5595C</b>	
	Hryniewicze, dz. nr 132/1, pow. białostocki, woj. PODLASKIE	
Współrzędne geograficzne:	53°04'05.93"N, 23°08'23.88"E	
Data wykonania pomiarów:	08.10.2024	
Data wydania sprawozdania:	09.10.2024	
Zleceniodawca:	P4 sp. z o.o. ul. Wynalazek 1 02-667 Warszawa	
Sprawozdanie wykonał:	Sprawdził:	Autoryzował:
inż. Monika Gendera Specjalista ds. analiz i wizualizacji wyników	mgr inż. Wojciech Lubiński Kierownik ds. jakości	mgr inż. Wojciech Lubiński Kierownik ds. jakości

## 1. INFORMACJE O UŻYTKOWNIKU <sup>1</sup>

- **Zleceniodawca:** P4 sp. z o.o. ul. Wynalazek 1, 02-667 Warszawa
- **Typ obiekt:** Instalacja radiokomunikacyjna zainstalowana na wieży kratowej
- **Numer obiektu:** BIA5595C
- **Adres obiektu:** Hryniewiczze, dz. nr 132/1, pow. białostocki, woj. PODLASKIE
- **Współrzędne geograficzne:** 53°04'05.93"N, 23°08'23.88"E

## 2. CHARAKTERYSTYKA ŹRÓDEŁ PEM <sup>1</sup>

**Tabela 1. Parametry systemu nadawczo-odbiorczego**

Charakterystyka promieniowania		kierunkowa														
Rzeczywisty czas pracy [h/dobę]		24														
Rodzaj wytwarzanego pola		stacjonarne														
Lp	Wyszczególnienie	sektor 1					sektor 2					sektor 3				
<b>I</b>																
<b>Nadajnik stacji bazowej:</b>																
1	Typ / Producent	RBS / SRAN Ericsson														
2	Częstotliwość (pasmo) MHz	2600	800	2100	1800	900	2600	800	2100	1800	900	2600	800	2100	1800	900
3	Maksymalna moc nadawana na sektor [dBm]	52,04	47,78	53,01	53,01	46,02	49,03	47,78	53,01	53,01	46,02	52,04	47,78	53,01	53,01	46,02
<b>II</b>																
<b>Obciążenie:</b>																
1	Typ anteny	Huawei ATR4518R6		Huawei ATR4518R6			Huawei ATR4518R6		Huawei ATR4518R6			Huawei ATR4518R6		Huawei ATR4518R6		
2	Producent anteny	Huawei		Huawei			Huawei		Huawei			Huawei		Huawei		
3	Nazwa anteny	11_HV	11_HV	12_GHL NT	12_GHL NT	12_GHL NT	21_HV	21_HV	22_GHL NT	22_GHL NT	22_GHL NT	31_HV	31_HV	32_GHL NT	32_GHL NT	32_GHL NT
4	Ilość anten	1		1			1		1			1		1		
5	Azymut	50					180					320				
6	Zakres kątów pochylenia anten [°]	0,00-10,00					0,00-10,00					0,00-10,00				
7	Wysokość zainst. n.p.t. [m]	41,00					41,00					41,00				
8	EIRP [W]	12497		22875			7436		22875			12497		22875		

<sup>1</sup> Dane pozyskane od Klienta

**Tabela 2. Parametry radiolinii**

Charakterystyka promieniowania				kierunkowa			
Rzeczywisty czas pracy [h/dobę]				24			
Rodzaj wytwarzanego pola				stacjonarne			
Lp	Linia radiowa			Antena			
	typ/producent	częstotliwość pracy [GHz]	moc wyjściowa [dBm]	typ/producent	średnica anteny [m]	azymut [°]	wysokość zainstal. [m]
1	OPTIX RTN/HUAWEI	80	18	A80S06/Huawei	0,6	275	42,00

**Inne źródła PEM:** W obszarze pomiarowym badanego obiektu **występują** inne źródła promieniowania pola elektromagnetycznego, które w zakresie badanych częstotliwości bezpośrednio wpływają na wynik wartości mierzonej natężenia pola.

### 3. OPIS POMIARÓW

**Cel badań:** Sprawdzenie dotrzymania dopuszczalnych poziomów pól elektromagnetycznych, w otoczeniu instalacji wytwarzających takie pola.

#### 3.1. Data oraz warunki pomiarów

Data pomiarów	Godzina		Opady	Temperatura [C]		Wilgotność [%]	
	rozpoczęcia pomiarów	zakończenia pomiarów		Minimalna	Maksymalna	Minimalna	Maksymalna
08.10.2024	11:50	12:50	Brak	12,0	12,5	54,0	55,8

#### 3.2. Aparatura pomiarowa:

Tabela 3. Opis zestawu pomiarowego

Nazwa	Typ/model	Numer fabryczny/SN	Świadectwo wzorcowania	Zastosowanie
Szerokopasmowy miernik natężenia pola elektromagnetycznego	NBM- 520	D-2225	LWiMP/W/158/24 z dnia 16.05.2024 (Laboratorium Wzorców i Metrologii Pola Elektromagnetycznego Instytutu Telekomunikacji, Teleinformatyki i Akustyki Politechniki Wrocławskiej)	Pomiary pola elektromagnetycznego
Sonda pomiarowa pola elektrycznego	EF-9091	A-0136		
Szerokopasmowy miernik natężenia pola elektromagnetycznego	NBM- 520	D-2188	LWiMP/W/056/23 z dnia 17.02.2023 (Laboratorium Wzorców i Metrologii Pola Elektromagnetycznego Instytutu Telekomunikacji, Teleinformatyki i Akustyki Politechniki Wrocławskiej)	
Sonda pomiarowa pola elektrycznego	EF-0691	J-0214		
Termohigrometr	Termioplus - S	SN 450823	587/2024 z dnia 01.03.2024 (Instytut Energetyki - Państwowy Instytut Badawczy)	Pomiary wilgotności względnej powietrza Pomiary temperatury powietrza
Odbiornik GPS	Garmin GLO2	1792A-A1156/5PS056463	-	Pomiar współrzędnych geograficznych

### 3.3. Wyznaczenie niepewności pomiarów:

Ocenę niepewności przyjmuje się zgodnie z procedurą stosowaną w laboratorium.

Wyznaczona rozszerzona niepewność pomiaru dla współczynnika rozszerzenia  $k = 2$  dla zestawu pomiarowego z pkt.3.2 w dniu pomiaru wynosi 33,09%.

### 3.4. Kryteria przedstawiania stwierdzeń zgodności

Niniejsze sprawozdanie zgodnie z zasadami systemu akredytacji zawiera stwierdzenia zgodności.

W przypadku badań poziomów pola elektromagnetycznego w środowisku stwierdzenie zgodności dotyczy rozstrzygnięcia, czy zmierzona wartość opisująca pole elektromagnetyczne przekracza wartość dopuszczalną dla zakresu częstotliwości, w którym pracują źródła podaną w Rozporządzeniu Ministra Zdrowia z dnia 17 grudnia 2019 r. w sprawie dopuszczalnych poziomów pól elektromagnetycznych w środowisku (Dz. U. z 2019 r. poz. 2448).

### 3.5. Metodyka wykonania pomiarów:

Zastosowano metodę znormalizowaną w oparciu o Rozporządzenie Ministra Klimatu i Środowiska z dnia 6 maja 2022 r. zmieniające rozporządzenie w sprawie sposobów sprawdzania dotrzymania dopuszczalnych poziomów pól elektromagnetycznych w środowisku (Dz.U. 2022 poz. 1121).

### 3.6. Przepisy prawne:

- Ustawa z dnia 27 kwietnia 2001 r. Prawo ochrony środowiska (Dz.U. 2024 r. poz. 834).
- Rozporządzenie Ministra Zdrowia z dnia 17 grudnia 2019 r. w sprawie dopuszczalnych poziomów pól elektromagnetycznych w środowisku (Dz. U. z 2019 r. poz. 2448).
- Rozporządzenie Ministra Klimatu z dnia 17 lutego 2020 r. w sprawie sposobów sprawdzania dotrzymania dopuszczalnych poziomów pól elektromagnetycznych w środowisku Załącznik do obwieszczenia Ministra Klimatu i Środowiska z dnia 21 listopada 2022 r. (Dz. U. poz. 2630).

### 3.7. Opis pomiarów

Stacja bazowa BIA5595C usytuowana jest na wieży kratowej zlokalizowanej pod adresem Hryniewiczze, dz. nr 132/1, pow. białostocki, woj. PODLASKIE. Anteny i moduły RRU zamontowane są na antenowych konstrukcjach wsporczych a urządzenia są w szafie APM zainstalowanej u podnóża wieży. W otoczeniu stacji zlokalizowana jest zabudowa jednorodzinna, przemysłowa oraz pola uprawne. Analiza parametrów technicznych wykazała, że urządzenia nadawcze stacji pracują w paśmie częstotliwości zgodnie z tabelą 1 oraz tabelą 2. Moc wyjściowa nadajników doprowadzona jest do anten przy pomocy ekranowanych fiderów.

Pomiary w otoczeniu stacji bazowej wykonano wzdłuż kierunków maksymalnego zasięgu oddziaływania pola elektromagnetycznego na kierunkach osi głównych wiązek anten sektorowych do odległości określonej zgodnie z wytycznymi zawartymi w instrukcji wykonywania pomiarów, podczas rzeczywistej pracy urządzeń wytwarzających pola elektromagnetyczne.

Pomiary wykonano dla średniego pochylenia wiązki liczonego jako średnia arytmetyczna z minimalnej i maksymalnej wartości stosowanego lub planowanego kąta pochylenia. Średnie wartości tilt ustawiane są przez Klienta. W przypadku, gdy na danym azymucie zainstalowano kilka anten, średnia wartości tilt ustawiona jest jednakowa dla wszystkich anten. Przyjmuje się najgorszą wartość spośród anten zainstalowanych na danym kierunku.

Pomiary w przyjętych pionach pomiarowych wykonano w punktach położonych na wysokościach od 0,3 m do 2,0 m nad powierzchnią ziemi lub nad innymi powierzchniami, na których mogą przebywać ludzie, przyjmując za wynik pomiaru maksymalny poziom natężenie pól elektromagnetycznego.

Pomiary wykonano w dodatkowych pionach pomiarowych w lokalach oraz na balkonach i tarasach, na których mogą przebywać ludzie, po poinformowaniu o planowanych pomiarach z minimum 3-dniowym wyprzedzeniem i po umożliwieniu dostępu do lokalu, balkonu lub tarasu przez jego dysponenta lub bez zachowania terminu wskazanego w pierwszej części zdania za zgodą dysponenta przestrzeni pomiarowej.

Punkty pomiarowe wewnątrz budynków oraz na tarasach/balkonach wyznaczono na podstawie przeprowadzonych obliczeń rozkładu pola elektromagnetycznego. Jako wartość graniczną do wyznaczenia odległości zasięgu pola elektromagnetycznego przyjęto wartość 9 V/m. Jest to wartość wypadkowa po uwzględnieniu współczynników odpowiadającym emisji z obcych źródeł promieniowania elektromagnetycznego oraz efekt odbicia fal radiowych. Obliczenia te wykonywane są uwzględniając parametry systemu antenowego dostarczone przez Klienta, W tym obszarze pomiary w budynkach wykonywane są obowiązkowo. Jeżeli w ww. obszarze nie zlokalizowano żadnych budynków dodatkowo wyznaczono reprezentatywne budynki, wewnątrz których wykonano dodatkowe pomocnicze punkty pomiarowe.

Przy doborze pionów pomiarowych uwzględniono charakter i sposób zagospodarowania terenu otaczającego stację bazową.

### 3.8. Sposób identyfikacji widma częstotliwości:

Parametry stacji bazowej uzyskane od właściciela instalacji stacji bazowej.

## 4. WYNIKI POMIARÓW

Wyniki pomiarów ważne są jedynie dla danej konfiguracji urządzeń w dniu, w którym wykonano pomiary.

Wynik pomiaru, to maksymalna wartości chwilowa zmierzona w danym pionie pomiarowym powiększona o rozszerzoną niepewność pomiaru  $U$  dla współczynnika rozszerzenia  $k = 2$  (dla poziomu ufności 95%).

**Tabela 4. Dopuszczalne poziomy pól elektromagnetycznych**

Parametr fizyczny Zakres częstotliwości pola elektromagnetycznego	Składowa elektryczna	Składowa magnetyczna
od 400 MHz do 2000 MHz	$1,375 \times f^{0,5}$ V/m	$0,00375 \times f^{0,5}$ A/m
Od 2 GHz do 300 GHz	61 V/m	0,16 A/m

Do wyznaczania wartości wskaźnikowych  $WM_E$  i  $WM_H$  przyjęto najniższe wartości dopuszczalne poziomów pól elektromagnetycznych w/w zakresów częstotliwości.

**Tabela 5. Wyniki pomiarów**

Nr pionu	Opis miejsca pomiaru	Pomiar wewnątrz pomieszczenia	Współrzędne geograficzne		Wynik poniżej progu detekcji	$E_p$ [V/m]	$U$ [V/m]	$E_p + U$ [V/m]	$H$ [A/m]	$WM_E$	$WM_H$	Przekroczenie wartości dopuszczalnej
			[°] E	[°] N								
1	Poziom gruntu - Główny kierunek pomiarowy anteny sektorowej azymut 180st	NIE	23,140090236	53,068048208	NIE	1,09	0,37	1,46	0,004	0,05	0,052	nie przekracza
2	Poziom gruntu - Główny kierunek pomiarowy anteny sektorowej azymut 180st	NIE	23,140055467	53,067510761	NIE	1,01	0,34	1,35	0,004	0,05	0,048	nie przekracza
3	Poziom gruntu - Główny kierunek pomiarowy anteny sektorowej azymut 180st	NIE	23,140036905	53,066840373	NIE	0,96	0,32	1,28	0,003	0,05	0,046	nie przekracza
4	Poziom gruntu - Główny kierunek pomiarowy anteny sektorowej azymut 180st	NIE	23,140059978	53,066371026	NIE	1,09	0,37	1,46	0,004	0,05	0,052	nie przekracza
5	Poziom gruntu - Główny kierunek pomiarowy anteny sektorowej azymut 180st	NIE	23,140072329	53,065797107	TAK	<0,80	0,27	1,07	0,003	0,04	0,038	nie przekracza
6	Poziom gruntu - pomocniczy pion pomiarowy	NIE	23,138397410	53,067582645	NIE	0,96	0,32	1,28	0,003	0,05	0,046	nie przekracza
7	Poziom gruntu - Główny kierunek pomiarowy anteny radioliniowej azymut 275st	NIE	23,139220799	53,068395254	NIE	0,94	0,32	1,26	0,003	0,05	0,045	nie przekracza
8	Poziom gruntu - Główny kierunek pomiarowy anteny radioliniowej azymut 275st	NIE	23,138548412	53,068465238	NIE	1,05	0,35	1,40	0,004	0,05	0,050	nie przekracza
9	Poziom gruntu - Główny kierunek pomiarowy anteny sektorowej azymut 320st	NIE	23,139693164	53,068569059	NIE	0,96	0,32	1,28	0,003	0,05	0,046	nie przekracza

Nr pionu	Opis miejsca pomiaru	Pomiar wewnątrz pomieszczenia	Współrzędne geograficzne		Wynik poniżej progu detekcji	$E_p$ [V/m]	U [V/m]	$E_p + U$ [V/m]	H [A/m]	WM $\epsilon$	WM $H$	Przekroczenie wartości dopuszczalnej
			[°] E	[°] N								
10	Poziom gruntu - Główny kierunek pomiarowy anteny sektorowej azymut 320st	NIE	23,139261358	53,068903276	NIE	1,09	0,37	1,46	0,004	0,05	0,052	nie przekracza
11	Poziom gruntu - Główny kierunek pomiarowy anteny sektorowej azymut 320st	NIE	23,138767551	53,069310066	NIE	0,93	0,31	1,24	0,003	0,04	0,044	nie przekracza
12	Poziom gruntu - Główny kierunek pomiarowy anteny sektorowej azymut 320st	NIE	23,138192990	53,069707180	NIE	0,96	0,32	1,28	0,003	0,05	0,046	nie przekracza
13	Poziom gruntu - Główny kierunek pomiarowy anteny sektorowej azymut 320st	NIE	23,137346027	53,070291316	NIE	0,82	0,28	1,10	0,003	0,04	0,039	nie przekracza
14	Poziom gruntu - pomocniczy pion pomiarowy	NIE	23,140314085	53,069413072	NIE	0,82	0,28	1,10	0,003	0,04	0,039	nie przekracza
15	Poziom gruntu - Główny kierunek pomiarowy anteny sektorowej azymut 50st	NIE	23,140473665	53,068554097	NIE	1,02	0,34	1,36	0,004	0,05	0,049	nie przekracza
16	Poziom gruntu - pomocniczy pion pomiarowy	NIE	23,141835193	53,068564714	NIE	0,82	0,28	1,10	0,003	0,04	0,039	nie przekracza
17	Poziom gruntu - Główny kierunek pomiarowy anteny sektorowej azymut 50st	NIE	23,141845324	53,069247188	NIE	0,96	0,32	1,28	0,003	0,05	0,046	nie przekracza
18	Poziom gruntu - Główny kierunek pomiarowy anteny sektorowej azymut 50st	NIE	23,142509836	53,069558627	NIE	0,89	0,30	1,19	0,003	0,04	0,043	nie przekracza
19	Poziom gruntu - Główny kierunek pomiarowy anteny sektorowej azymut 50st	NIE	23,143249612	53,069961933	NIE	0,90	0,30	1,20	0,003	0,04	0,043	nie przekracza
20	Hala, przy wejściu, Hryniewicze 75/5 - pomocniczy pion pomiarowy	TAK	23,140717921	53,068763509	NIE	1,09	0,37	1,46	0,004	0,05	0,052	nie przekracza



## Objaśnienia:

$$E_p: E_{poprawne} = E_{wskazane} * C_{d(E)} * C_{f(f)}$$

$E_{wskazane}$  - zmierzona maksymalna wartość chwilowa natężenia pola elektrycznego

$C_{d(E)}$  – charakterystyka dynamiczna sondy – zgodna ze świadectwem wzorcowania

$C_{f(f)}$  – charakterystyka częstotliwościowa sondy – zgodna ze świadectwem wzorcowania

$H$  – wyznaczona wartość natężenia pola magnetycznego z uwzględnieniem współczynnika korekcyjnego oraz rozszerzonej niepewności pomiaru.

$WM_E$  - wartość wskaźnikowa poziomu oddziaływania pól elektromagnetycznych dla miejsc dostępnych dla ludności dla składowej elektrycznej pola.

$WM_H$  - wartość wskaźnikowa poziomu oddziaływania pól elektromagnetycznych dla miejsc dostępnych dla ludności dla składowej magnetycznej pola.

\* Wynik poniżej progu detekcji - wartość zmierzona poniżej zakresu akredytacji. Do obliczeń przyjęto wartość zgodną z dolną granicą akredytowanego zakresu pomiarowego metody.

*Piony pomiarowe wewnątrz budynków oraz na tarasach/balkonach wyznaczono na podstawie przeprowadzonych obliczeń rozkładu pola elektromagnetycznego zgodnie z wewnętrznymi procedurami laboratorium.*

*\*\* - Brak dostępu*

## 5. WNIOSKI

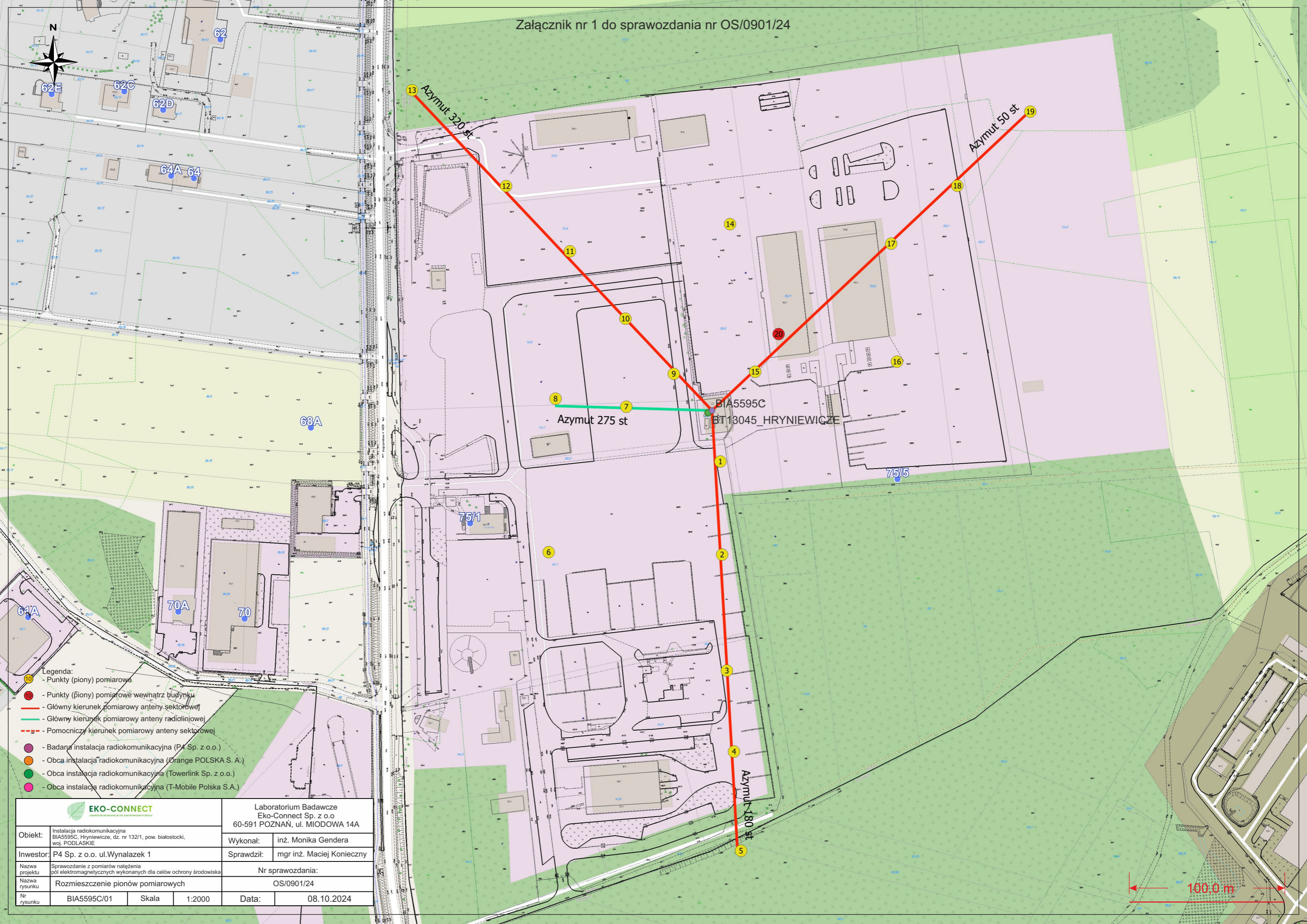
Stwierdza się, iż na podstawie uzyskanych wyników pomiarów i informacji uzyskanych od operatora, w otoczeniu stacji bazowej telefonii komórkowej BIA5595C w miejscach dostępnych dla ludności, w których dokonano pomiaru, nie zostały przekroczone wartości graniczne poziomów pól elektromagnetycznych określonych w Rozporządzeniu Ministra Zdrowia z dnia 17 grudnia 2019 r. w sprawie dopuszczalnych poziomów pól elektromagnetycznych w środowisku (Dz. U. z 2019 r. poz. 2448).

Stwierdzenie zgodności zostało przedstawione na podstawie wyników badań oraz informacji uzyskanych od Klienta (za które Laboratorium nie ponosi odpowiedzialności) dla instalacji opisanej w punkcie 2. Stwierdzenia zgodności dokonano na podstawie zasady podejmowania decyzji i wymagań zawartych w załączniku do Rozporządzenia Ministra Klimatu z dnia 17 lutego 2020 r. w sprawie sposobów sprawdzania dotrzymania dopuszczalnych poziomów pól elektromagnetycznych w środowisku (Dz.U. 2022 poz. 2630 z 15.12.2022r.).

- Sprawozdanie zawiera 10 stron
- Załączniki: nr 1 – mapa z rozmieszczeniem pionów pomiarowych wokół obiektu
- Otrzymują:
  1. Zleceniodawca: - 1 egz.
  2. a / a: 1 egz.

Bez pisemnego zezwolenia laboratorium Eko-Connect Sp. z o.o. sprawozdanie nie może być powielane inaczej, jak tylko w całości.

# KONIEC SPRAWOZDANIA



- Legenda:
- Punkty (piony) pomiarowe
  - Punkty (piony) pomiarowe wewnątrz budynku
  - Główny kierunek pomiarowy anteny sektorowej
  - Główny kierunek pomiarowy anteny radioliniowej
  - - - Pomocniczy kierunek pomiarowy anteny sektorowej
  - Badana instalacja radiokomunikacyjna (P4 Sp. z o.o.)
  - Obca instalacja radiokomunikacyjna (Orange POLSKA S. A.)
  - Obca instalacja radiokomunikacyjna (Towerlink Sp. z o.o.)
  - Obca instalacja radiokomunikacyjna (T-Mobile Polska S.A.)

<b>EKO-CONNECT</b> <small>LABORATORIUM BADAWCZE Pól ELEKTROMAGNETYCZNYCH</small>		Laboratorium Badawcze Eko-Connect Sp. z o.o 60-591 POZNAŃ, ul. MIODOWA 14A	
Objekt:	Instalacja radiokomunikacyjna BIA5595C, Hryniewicze, dz. nr 132/1, pow. białostocki, woj. PODLASKIE	Wykonał:	inż. Monika Gendera
Inwestor:	P4 Sp. z o.o. ul. Wynałazek 1	Sprawdził:	mgr inż. Maciej Konieczny
Nazwa projektu:	Sprawozdanie z pomiarów natężenia pól elektromagnetycznych wykonanych dla celów ochrony środowiska	Nr sprawozdania: OS/0901/24	
Nazwa rysunku:	Rozmieszczenie pionów pomiarowych	OS/0901/24	
Nr rysunku:	BIA5595C/01	Skala:	1:2000
		Data:	08.10.2024

100.0 m